

水库的放空时间和充水时间

技术科学博士 В. И. 德沃廖辛教授 著



水利出版社

水庫的放空時間和充水時間

技術科學博士 B. I. 德沃廖辛教授 著

徐一心 譯

水利出版社

1957年4月

本書中所推導的公式，可借以決定：

- 1.水庫的充水時間和放空時間；
- 2.水庫放水或充水後所達到的水位；
- 3.能泄水建築物較為經濟的水庫儲蓄能力。

本書的計算圖表能夠極為迅速地解決各種實際問題，所推導的公式均未計算摩擦阻力。

本書可供水利工程技術人員設計水庫充水時間和放空時間參考之用。

水庫的放空時間和充水時間

原書名	ВРЕМЯ ОПОРОЖНЕНИЯ И НАПОЛНЕНИЯ ВОДОХРАНИЛИЩ
原著者	В.И.ДВОРЯШИН
出版處	ИЗДАТЕЛЬСТВО АКАДЕМИИ НАУК СССР
原出版年份	1953
譯者	徐一心
出版者	水利出版社(北京和平門內北新華街35號) 北京市書刊出版業貨裝許可證出字第080號
印刷者	水利出版社印刷廠(北京西城成方街13號)
發行者	新華書店

41千字 787×1092 1/32 1 15/16印張
1957年4月第一版 北京第一次印刷 印數1~3,100
統一書號：15047·49 定價：(10)0.30元

目 錄

前 言	1
§1.水庫容積曲線	2
§2.水力樞紐中溢流堰的檻位于河底時，水庫的放空與充水	5
1.一般的計算情況	5
2.水庫的放空時間	7
甲、具有入流時的放空時間	7
乙、沒有入流時的放空時間	12
3.水庫的充水時間	19
甲、具有出流時的充水時間	19
乙、沒有出流時的充水時間	27
4.水庫蓄能力的計算	27
§3.水力樞紐中溢流堰的檻高出河底時，水庫的放空與充水	32
1.一般的計算情況	32
2.放空時間	34
甲、具有入流時的放空時間	34
乙、沒有入流時的放空時間	38
3.充水時間	43
甲、具有出流時的充水時間	43
乙、沒有出流時的充水時間	44
§4.具有壓力孔口時水庫的放水與充水	45
1.一般的計算情況	45
2.放空時間	46
甲、具有入流時的放空時間	46
乙、沒有入流時的放空時間	50
3.充水時間	54
甲、具有出流時的充水時間	54
乙、沒有出流時的充水時間	55
§5.結 論	58

前　　言

根据约·维·斯大林同志的倡议以及苏联部长会议与苏联共产党第十九次代表大会的决定，以史无前例的规模在我国进行着的水利工程建設，将要建成大量的各种类型的水库——从伏尔加河、顿河与第聂伯河上的巨型水库一直到集体农庄的小型塘堰。这就需要在水库设计和运用时进行较为准确的水利计算。

在一些水利计算中需要计及水库的放空时间或充水时间。在阐明水库的储蓄能力时也要有类似的计算。

水库的放空时间和充水时间取决于：进入水库的流量，从泄水、引水以及其他设备流出水库的流量，泄水的性质，泄水建筑物的类型和水库的特征。溢流堰或其他水库泄水或引水设备的类型具有重要的意义。但是在各种情况下水库出流的规律并不一致，要使计算公式具有最为通用的形式是有困难的。

不过仍然可以指出，在实用时最常遇到的是低槛开敞式溢流堰、高槛式溢流堰以及建于建筑物枢纽水面上或它一旁的底孔口或深孔口三种类型。为了简化起见，针对上述三种情况分别拟定计算公式。

推导公式时假定：闸门瞬时即被开启，溢流堰与孔口不是淹没的，流速水头很小可以忽略。还假定，闸门开启后整个上游段的水位沿着水平面同时降低。

§ 1. 水庫容積曲線

水庫的特徵對於分析水庫的放空時間或充水時間是十分必需的。我們可以采用水庫的面積曲線來代表水庫的特徵。但是水庫的面積曲線往往具有雙向曲率。例如，在我們所掌握的 102 条水庫面積曲線中，就有 39 条曲線具有雙向曲率，這就使問題的分析趨於複雜。而水庫的容積曲線則始終凸向一個方向，即凸向高程坐標軸，因此可以足夠準確地替水庫容積曲線選定較為簡單的方程式。我們知道離開坐標原點愈遠，水庫容積曲線的曲率愈小。這種曲線的特性以指數函數的方程式最為符合。根據這種理由水庫容積曲線的方程式可給予如下的形式：

$$W_i = kz^n, \quad (1)$$

式中 W_i ——水庫的容積；

k ——系數；

z ——水庫的深度。

當 $z = H$ 而 $W_i = W$ 時，系數 k 可由公式

$$k = \frac{W}{H^n}, \quad (2)$$

決定，式中 H 系相當於正常庫水位時水庫的深度。

將此 k 值代入方程式 (1)，可得

$$W_i = \frac{W}{H^n} z^n. \quad (3)$$

已知曲線方程式的兩點，就可由下式求得指數值 n ：

$$n = \frac{\lg W_2 - \lg W_1}{\lg z_2 - \lg z_1}. \quad (4)$$

現在我們再來確定，指數函數方程式對於實際的水庫容積曲線究竟符合到什麼程度。為此我們應用方程式（1），并以下式表之：

$$\frac{W_i}{W} = \left(\frac{z}{H} \right)^n. \quad (5)$$

給定不同的比值 $\frac{z}{H}$ 與不同的數值 n ，求出相應的 $\frac{W_i}{W}$ 值。根據求得的數值，繪制 $n = 1, 3/2, 2, 5/2, 3$ 與 4 時方程式（5）的函數圖（圖1）。

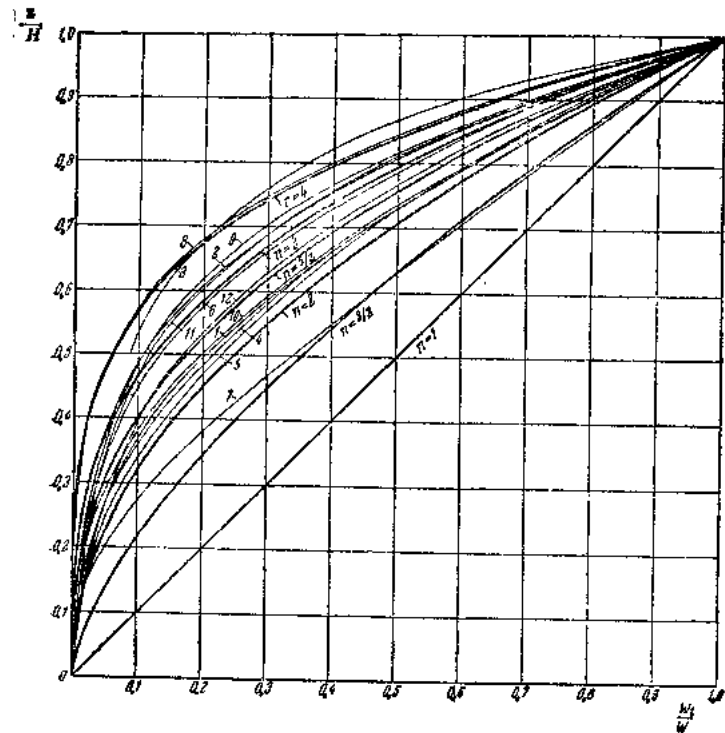


圖1.粗綫表示當 $n=1, 3/2, 2, 5/2, 3, 4$ 時按方程式
 $\frac{W_i}{W} = \left(\frac{z}{H} \right)^n$ 繪制的水庫容積曲綫；細綫表示按實際資料繪制的水庫容積曲綫。

就在同一圖中我們再繪上 12 条現有的或已設計好的水庫的容積比值曲線。在選擇水庫時，盡我們所掌握的資料，在圖上畫出最小與最大的水庫；其中之一，6 號水庫，面積為 50,200 平方公尺，容積 55,260 立方公尺，最大深度為 3.2 公尺，平均深度 1.1 公尺；其二，9 號水庫，面積為 5.03 億平方公尺，容積 77.8 億立方公尺，最大深度 50 公尺，平均深度 15.4 公尺。

其次，我們在圖中力求繪上與一般情況不同的水庫資料，即筑有圍堤的水庫的資料。屬於這一類的有：10 號水庫，水邊緣的周緣的一部分築有堤防；1 號水庫總長約 8 公里，在最深部分計 6.5 公里築有堤防；而 7 號水庫，庫容約 4.5 億立方公尺，系一週圍全部築有堤防的巨大水塘。其余 7 個水庫都是一般的沒有堤防的水庫，其中 3 號水庫的數據不全。因此圖中資料所包括的範圍是相當廣闊的。

但是儘管如此，理論曲線與實際曲線的差別仍然不大。特別是當比值 $\frac{z}{H}$ 較大時，即在曲線的上部，差別更小；而水庫的上部又恰好集中了最大的庫容。因此，鑑於上述的情況，以後計算時即採用以方程式（3）表示的容積曲線。現在需要討論指數值 n 。根據 85 個水庫的概略估算，表明平原河流的指數值 n 的變化在 1.4~5 之間。因 $n > 4$ 極少遇見，而 $n = 1$ 則相當於水庫面積等於常數的情況，所以在今後的一切推論中採用 n 值變化在 1~4 間。

現在可以進而推導下面三種情況，不計摩擦阻力與損失的相應公式：

1. 建築物樞紐中檻位於河底的溢流堰；
2. 高檻溢流堰；
3. 壩體中的孔口。

§ 2. 水力樞紐中溢流堰的檻位于河底時， 水庫的放空與充水

1. 一般的計算情況

假定進入水庫的流量為 $Q_{\text{入}}$ ，流出的為 $Q_{\text{出}}$ 。

我們採用流經溢流堰的流量公式來表示這兩個流量，並假定溢流堰是非潛沒式的。同時還認定堰檻的高程正好與水庫容積曲線的坐標原點相重合（圖 2）。

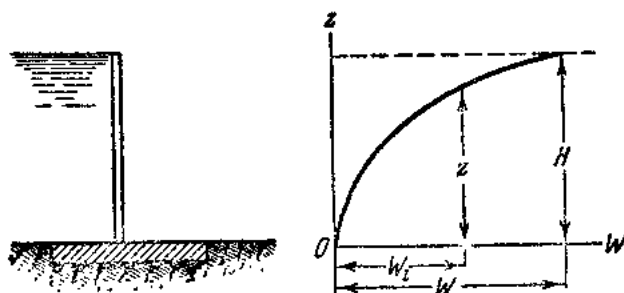


圖 2.

如果設想水庫是空的，且只有流量 $Q_{\text{入}}$ 流經溢流堰，則溢流堰檻上所保持的水頭 z_0 值可由下式求得：

$$Q_{\text{入}} = m b_c \sqrt{2 g} z_0^{\frac{3}{2}} \quad (6)$$

用這種方式表示入庫流量系 H. H. 巴甫洛夫斯基建議的。至于 $Q_{\text{出}}$ 也可類似地寫為：

$$Q_{\text{出}} = m b_c \sqrt{2 g} z^{\frac{3}{2}} \quad (7)$$

式中 z 值隨着水庫的逐漸放空而自 H 減小至零。

流量系数 m 与收縮寬度 b_c 通常是已知的。

令

$$mb_c\sqrt{2g} = a, \quad (8)$$

并假定在一定的时段間隔內 a 值等于常数。

顯然，当閘門开啓了 dt 時間，且經溢流堰泄出的流量為 $Q_{\text{出}}$ 时，水庫容積变化值应为：

$$dW_t = Q_{\text{出}} dt - Q_{\text{入}} dt = a(z^{\frac{n}{2}} - z_0^{\frac{n}{2}})dt. \quad (9)$$

当 $Q_{\text{出}} > Q_{\text{入}}$ ，水庫逐漸放空；而 $Q_{\text{出}} < Q_{\text{入}}$ 时，水庫逐漸充水。

將(3)式微分后代入(9)式可得：

$$dt = \frac{w}{aH^n} \frac{z^{n-1} dz}{z^{\frac{n}{2}} - z_0^{\frac{n}{2}}}. \quad (10)$$

入庫流量 $Q_{\text{入}}$ 在一定的时段間隔之内可以作为常数，且在上式積分时可 將 $z_0^{\frac{n}{2}}$ 值括在積分号的外面。

引用符号 $\xi = \frac{z}{z_0}$ (11)

將方程式(10)右边的分子分母均乘以 $z_0^{n-\frac{n}{2}}$ ， 并以 $d\xi$ 代替 dz ， 即可求得：

$$t = \frac{w z_0^{n-\frac{n}{2}}}{a H^n} \int_{\xi_2}^{\xi_1} \frac{\xi^{n-1} d\xi}{\xi^{\frac{n}{2}} - 1}. \quad (12)$$

当 w, a, z_0, H 与 n 均为已知时，可从方程式(12)求出水庫的放空時間。此时 $z > z_0$ ， $\xi > 1$ ， $\xi_1 = \frac{z_1}{z_0}$ ， $\xi_2 = \frac{z_2}{z_0}$ 与 $\xi_1 > \xi_2$ (見圖 6, a)。

同理，求水庫的充水時間时， $z < z_0$ ， $\xi < 1$ 与 $\xi_1 < \xi_2$ (見圖 8, a)，可得

$$t = \frac{w z_0^{n-\frac{n}{2}}}{a H^n} \int_{\xi_1}^{\xi_2} \frac{\xi^{n-1} d\xi}{1 - \xi^{\frac{n}{2}}}. \quad (13)$$

2. 水庫的放空時間

甲、具有入流時的放空時間

假定 $n = 1, 3/2, 2, 5/2, 3$ 与 4 ，解方程式(12)。
茲不列舉公式推導的过程，僅將最後結果列入表 1。

表 1

n	公 式	函 数 值
1	$t = \frac{W}{aH z_0^{1/2}} [A_1(\xi_1) - A_1(\xi_2)]$. (14)	$A_1(\xi) = \frac{2}{3} \ln(\xi^{1/2} - 1) - \frac{1}{3} \ln(\xi + \xi^{1/2} + 1) + \frac{2}{\sqrt{3}} \arctg \frac{2\xi^{1/2} + 1}{\sqrt{3}}$ (20)
$3/2$	$t = \frac{W}{aH^{3/2}} [B_1(\xi_1) - B_1(\xi_2)]$. (15)	$B_1(\xi) = \ln(\xi^{3/2} - 1)$. (21)
2	$t = \frac{W z_0^{1/2}}{aH^2} [C_1(\xi_1) - C_1(\xi_2)]$. (16)	$C_1(\xi) = 2 \left[\frac{2\xi^{1/2}}{3} + \frac{2}{3} \ln(\xi^{1/2} - 1) - \frac{1}{3} \ln(\xi + \xi^{1/2} + 1) - \frac{2}{\sqrt{3}} \arctg \frac{2\xi^{1/2} + 1}{\sqrt{3}} \right]$. (22)
$5/2$	$t = \frac{W z_0^{3/2}}{aH^{5/2}} [D_1(\xi_1) - D_1(\xi_2)]$. (17)	$D_1(\xi) = 2.5(\xi + A_1(\xi))$. (23)
3	$t = \frac{W z_0^{5/2}}{aH^3} [E_1(\xi_1) - E_1(\xi_2)]$. (18)	$E_1(\xi) = 2[\xi^{5/2} + B_1(\xi)]$. (24)
4	$t = \frac{W z_0^{5/2}}{aH^4} [F_1(\xi_1) - F_1(\xi_2)]$. (19)	$F_1(\xi) = 4 \left[\frac{2}{5} \xi^{5/2} + \xi + A_1(\xi) \right]$. (25)

公式(14)~(19)根据已給的边界条件可用以决定水庫的放空时间，或者根据其他的假定条件也可求得水庫宣泄所达的水位。为了便于計算，特將函数 $A_1(\xi)$, $B_1(\xi)$, $C_1(\xi)$, $D_1(\xi)$, $E_1(\xi)$ 与 $F_1(\xi)$ 按不同的 $\xi = \frac{z}{z_0}$ 算出結果，列于表 2，并繪成曲綫圖（圖 3~圖 6）。在推求各类数值时，必要处計算准确到小数点后 15~18 位。

根据上述公式計算水庫放空时间的步骤如下：

首先應該求得該水庫容積曲綫的指数 n 值。为此將庫容曲綫划分成 $z = H$; $z = 0.9H$; $z = 0.8H$ 等等若干段，求出各个 z 值相应的庫容。再將这些庫容除以总庫容，求出相应于 $\frac{z}{H} = 1$, $\frac{z}{H} = 0.9$ 等等的 $\frac{1}{W}$ 值。利用这些数据繪制該水庫的容積曲綫。假如該曲綫介于指数 n 值分別等于 $5/2$ 与 2 的兩根曲綫之間，則可以利用上述公式以及表 2 或圖 3~

表 2

ξ	$A_1(\xi)$	$B_1(\xi)$	$C_1(\xi)$	$D_1(\xi)$	$E_1(\xi)$	$F_1(\xi)$
36	1.480	5.371	20.317	93.700	442.741	12591.521
25	1.413	4.820	16.292	63.037	259.641	5105.451
16	1.312	4.143	12.247	43.279	136.236	1707.647
9	1.111	3.258	8.147	25.352	60.516	429.363
4	0.720	1.946	3.846	11.950	19.892	70.319
3	0.600	1.434	2.576	8.991	13.261	39.329
2	0.241	0.603	0.846	5.601	6.864	18.013
1.6	-0.049	0.024	-0.187	3.877	4.095	11.384
1.4	-0.292	0.421	-0.906	2.771	2.472	8.145
1.2	-0.724	-1.157	-2.074	1.139	0.316	4.427
1.1	-1.171	-1.873	-3.046	-0.177	-1.433	1.748
1.03	-1.316	-2.101	-3.363	-0.500	-1.957	0.995
1.06	-1.505	-2.393	-3.707	-1.132	-2.604	0.072
1.04	-1.712	-2.304	-4.328	-1.319	-3.486	-1.162
1.02	-2.230	-3.502	-5.271	-3.020	-4.913	-3.161
1.01	-2.691	-4.197	-6.205	-4.261	-6.346	-5.082

• O. K. 伏爾斯卡婭帮助作者編制表 2, 9, 14 和表 21 与 25 的一部分，特此致謝。

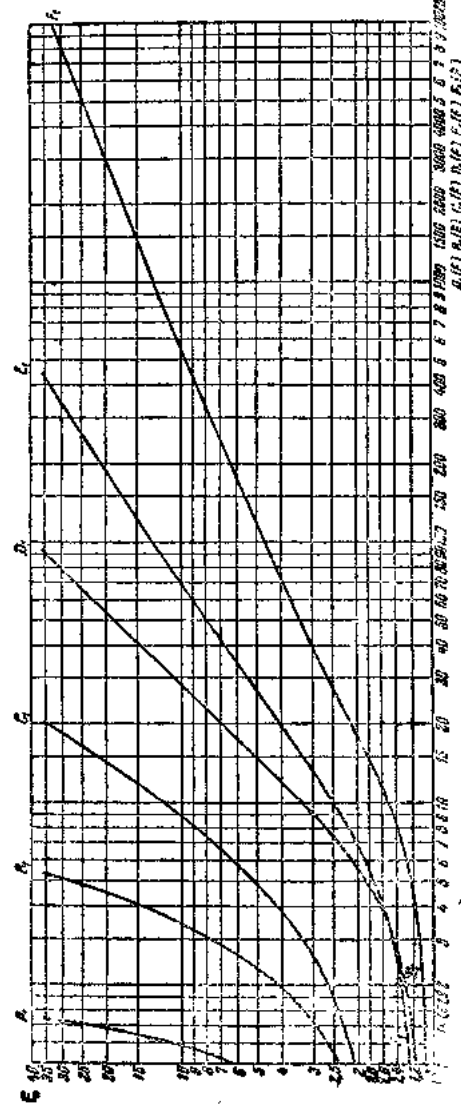


圖3.水庫具有入流時計算放空時間的函數 $A_1(\xi)$, $B_1(\xi)$, $C_1(\xi)$, $D_1(\xi)$, $E_1(\xi)$ 圖

6, 分別計算 $n = 5/2$ 與 $n = 2$ 的時間。而所求的水庫放空時間用內插法即可求出。如所求水庫的容積曲線與理論曲線相交，則庫容曲線的指數按段分別采用平均值。

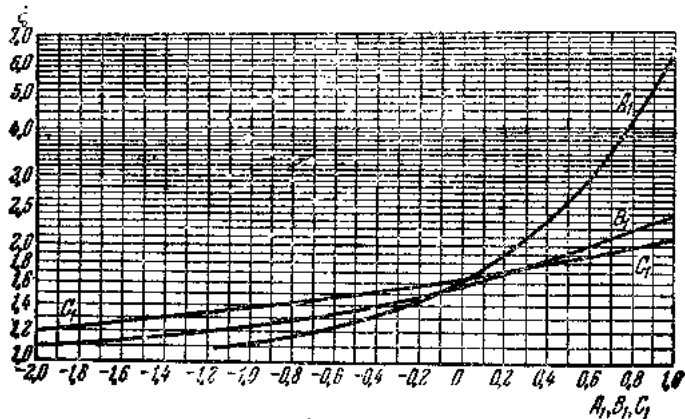


圖4.函數 $A_1(\xi)$, $B_1(\xi)$, $C_1(\xi)$ 圖

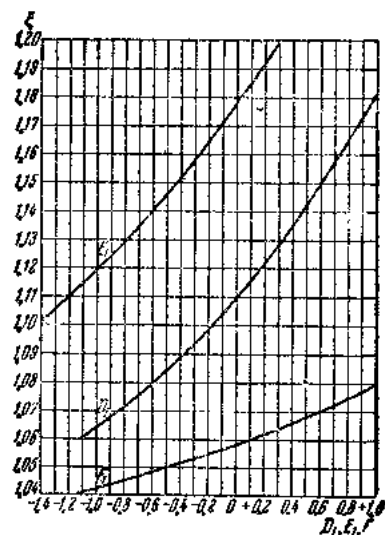


圖5.函數 $D_1(\xi)$, $E_1(\xi)$, $F_1(\xi)$ 圖

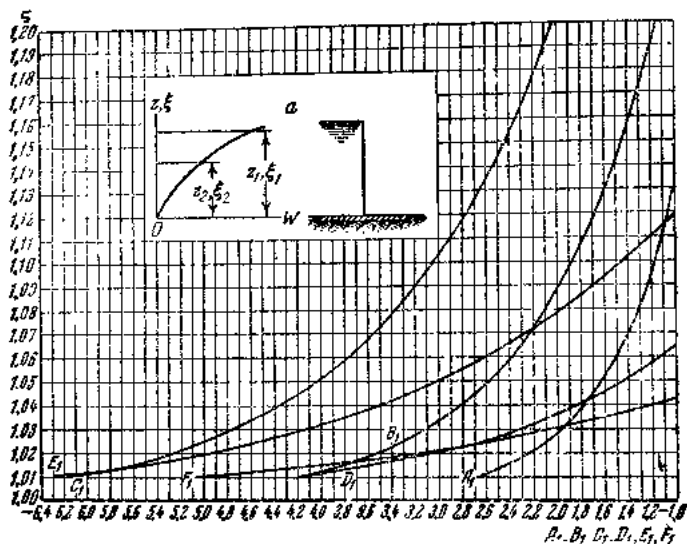


圖6.函數 $A_1(\xi)$, $B_1(\xi)$, $C_1(\xi)$, $D_1(\xi)$, $E_1(\xi)$, $F_1(\xi)$ 圖

例 1. 已知 $W = 5 \cdot 10^6$ 立方公尺, $m = 0.32$, $b_c = 15$ 公尺, $H = 4$ 公尺, $Q_\lambda = 2.66$ 秒公方。

根据上述数据, $a = 21.25$, $z_0 = \frac{H}{a} = 0.125$, $z_0 = 0.25$ 公尺。

令水庫自 $z_1 = H = 4$ 公尺, 即自 $\xi_1 = \frac{z_1}{z_0} = \frac{H}{z_0} = 16$,

$Q_{\text{出}} = Q_{\text{最大值}} = 170$ 秒公方开始, 宣泄到 $\xi_1 = 1.04$, 即水位 $z_2 = 1.04 \cdot z_0 = 1.04 \times 0.25 = 0.26$ 公尺。

我們利用前述公式以不同的 n 值計算水庫的放空時間, 并計算結果列于表 3。

表 3

n	公式 (14)~(19) 括弧前的乘项	A ₁ , B ₁ 等函数值			放空时间	
		当 t ₁ = 16	t ₂ = 1.04	两者之差	秒	小时
1	$\frac{5 \cdot 10^6}{21.25 \cdot 4 \cdot 0.25} = 117.6 \cdot 10^3$	1.31	-1.77	3.08	362,500	100.6
3/2	$\frac{5 \cdot 10^6}{21.25 \cdot 4^{\frac{3}{2}}} = 29.45 \cdot 10^3$	4.143	-2.804	6.997	204,500	56.8
2	$\frac{5 \cdot 10^6 \cdot 0.25^{\frac{3}{2}}}{21.25 \cdot 4^2} = 7.36 \cdot 10^3$	12.246	-4.328	16.574	121,800	33.9
5/2	$\frac{5 \cdot 10^6 \cdot 0.25^{\frac{3}{2}}}{21.25 \cdot 4^{\frac{5}{2}}} = 1.838 \cdot 10^3$	43.28	-1.83	45.11	83,000	23.1
3	$\frac{5 \cdot 10^6 \cdot 0.25^{\frac{3}{2}}}{21.25 \cdot 4^3} = 460$	136.29	-3.49	139.78	64,300	17.9
4	$\frac{5 \cdot 10^6 \cdot 0.25^{\frac{3}{2}}}{21.25 \cdot 4^4} = 28.75$	1707.65	-1.16	1708.8	49,100	13.6

对公式 (14)~(19) 的分析表明，取决于容积曲线方程式的指数的水库放空时间具有相当大的变化范围。可以指出，指数 n 值越大，即容积曲线弯曲愈甚，则水库放空需要的时间愈短。因为库容曲线的起始部分愈陡，库容的大部分就愈集中于水库的上部，水库重心的位置也就愈高。由此可見库容曲线较弯曲时，溢流堰上的水头在开始的一定时间内变化较少，也就是经过溢流堰的最大流量在相当长的时间内变化较少。当水库容积曲线不很弯曲时就没有这种现象。

乙、没有入流时的放空时间

当水库中没有入流，或入流与出流相比很小时，则入库流量 q_入 可以忽略不计。在这种情况下，当 z₀=0 时，自方程式 (10) 可得

$$t = n \frac{W}{aH^n} \int_{z_1}^{z_2} z^{n-\frac{1}{2}} dz. \quad (26)$$

將 $n=1, 3/2$ 等等代入上式，並當 $z_1 > z_2$ 予以積分，可得

$$n=1 \quad t = 2 \frac{W}{aH} \left(\frac{1}{\sqrt{z_2}} - \frac{1}{\sqrt{z_1}} \right); \quad (27)$$

$$n=3/2 \quad t = 1.5 \frac{W}{aH^{\frac{1}{2}}} \ln \frac{z_1}{z_2}; \quad (28)$$

$$n=2 \quad t = 4 \frac{W}{aH^{\frac{1}{2}}} (\sqrt{z_1} - \sqrt{z_2}); \quad (29)$$

$$n=5/2 \quad t = 2.5 \frac{W}{aH^{\frac{1}{2}}} (z_1 - z_2); \quad (30)$$

$$n=3 \quad t = 2 \frac{W}{aH^{\frac{1}{3}}} \left(z_1^{\frac{3}{2}} - z_2^{\frac{3}{2}} \right); \quad (31)$$

$$n=4 \quad t = 1.6 \frac{W}{aH^{\frac{1}{4}}} \left(z_1^{\frac{5}{4}} - z_2^{\frac{5}{4}} \right). \quad (32)$$

如起始水頭 $z_1 = H$ ，則公式 (27)~(32) 可如表 4 所列的形式，其中

$$Q_{\text{出}} = aH^{\frac{n}{2}} \quad (33)$$

$$\text{與} \quad \xi = \frac{z_2}{H}. \quad (34)$$

函數 $A_2(\xi)$, $B_2(\xi)$ 等等已經計算並列入表 5 與圖 7。

公式 (35) 曾在實驗室的條件下經過檢驗。試驗用一個長 17.74 公尺，寬 1.7 公尺的混凝土水槽進行的。水經過

● 3. 別茨羅柯娃爾助作者進行所有這些試驗。